

УДК 535.211:669.14

д.т.н., професор Божидарнік В.В.,  
Луцький національний технічний університет  
д.т.н., професор Добрянський І.М.,  
Львівський національний аграрний університет

## ОЦІНКА ВПЛИВУ РАДІОАКТИВНОГО ОПРОМІНЕННЯ НА МІЦНІСТЬ ЕЛЕМЕНТІВ КОНСТРУКЦІЙ

*Наводиться розв'язок задачі про визначення залишкового ресурсу труби з поверхневою тріщиною в її стінці, яка піддана дії довготривалого внутрішнього тиску, високої температури і радіаційного опромінення.*

**Ключові слова:** конструктивні елементи, температура, напружено-деформований стан, радіаційне опромінення, розрахункові моделі, тріщини, енергетичний підхід

**Вступ.** Конструктивні елементи атомних електростанцій, будівель та інженерних споруд, виготовлені з металу, бетону і залізобетону, можуть знаходитись під дією не тільки експлуатаційних технологічних силових навантажень і температури, а й радіаційного опромінення. Численні результати експериментальних досліджень і натурних спостережень свідчать про те, що дія радіаційних чинників призводить до істотних змін механічних властивостей матеріалу конструкції, а в деяких випадках до зміни роботи самої конструкції. У міру дії радіації змінюються властивості металу й бетону, відбувається розпухання матеріалів. У результаті напружений стан конструкції змінюється, а термін «життя» зменшується. Під дією радіаційного опромінення знаходяться конструкції в зоні дії наслідків аварії на Чорнобильській АЕС, конструкції ядерних реакторів, конструкції могильників і сховищ, що слугують для складування відпрацьованого палива і поховання інших радіоактивних відходів. Усі ці конструкції повинні забезпечувати захист від негативної дії радіаційних чинників, а також зберігати свої функціональні властивості на певний період експлуатації. Оскільки під впливом радіаційного опромінення змінюється напружено-деформований стан елементів конструкцій, то для прогнозування цієї зміни необхідно мати розрахункові моделі і методи розрахунку, що враховують негативну дію радіаційних чинників. З цією метою пропонуються такі розрахункові моделі.

**Аналіз досліджень і публікацій, в яких започатковано вивчення проблеми впливу радіаційного опромінення на довготривалу високотемпературну міцність металевих елементів конструкцій атомних електростанцій.** Сьогодні низка енергоблоків в Україні вже виробила свій

проектний термін служби (30 років) або наближається до нього. Для подальшої експлуатації енергоблоків, що досягли проектного терміну служби, а також для розробки проектів АЕС нового покоління з терміном служби понад 30 років необхідне забезпечення безпечної експлуатації устаткування АЕС на нові, триваліші терміни служби [1]. Тому питання обґрунтування продовження терміну служби атомного енергоустаткування із забезпеченням його безпечної експлуатації стають в даний час все більш важливими і актуальними. За нормативними документами РДЕО 0185-2006 і РДЕО 0330-2001, що існують в атомній енергетиці, продовження терміну служби енергоблоків АЕС проводиться за виконання великого комплексу регламентованих заходів, що включають, зокрема, оцінку технічного стану й розрахунок залишкового ресурсу елементів енергоблоків з урахуванням фактичного рівня механічних властивостей і виявлених під час експлуатації дефектів. Розрахунок залишкового ресурсу, визначення розмірів дефектів, що допускаються, виконують з урахуванням підростання тріщиноподібних дефектів у процесі експлуатації. Оскільки устаткування АЕС експлуатується в умовах термічної, механічної, корозійної і радіаційної дій, то необхідно визначити вплив експлуатаційної дії на зміну властивостей металу устаткування і трубопроводів у процесі експлуатації, що дозволить прогнозувати їх зміну на продовжуваний термін служби. У зв'язку з цим для забезпечення безпечної експлуатації актуальним стає вдосконалення розрахунків на міцність для обґрунтування продовження терміну служби з урахуванням тривалих термінів експлуатації.

Відсутність надійних даних про зміну характеристик жароміцності конструкційних сталей під дією нейтронного опромінення спричинює велику невизначеність у проектуванні активних зон ядерних апаратів, розрахунках їх на міцність і необхідність введення в розрахунок завищених коефіцієнтів запасу, що врешті знижує нейтронно-фізичні характеристики реакторів і їх економічність. При цьому велике значення мають питання, пов'язані з впливом нейтронного опромінення на високотемпературну повзучість матеріалів і їх довготривалу міцність. Особливо великий інтерес становлять ті нечисленні дослідження повзучості і довготривалої міцності, які проведені безпосередньо в потоках реакторних випромінювань. Вони необхідні для розрахунку залишкового ресурсу елементів атомних електростанцій, які контактують з першим контуром. До таких елементів належить віднести внутрішню частину корпусу реактора і різного типу трубопроводів, якими тече реакторна вода. В їх стінках утворюються поверхневі тріщини, що розвиваються в результаті високотемпературної повзучості, яка посилюється за рахунок радіоактивного опромінення.

Як показують результати експериментальних досліджень [2; 3], збільшення швидкості усталеної повзучості сталі типу 304 за температури  $T=650\text{ }^{\circ}\text{C}$  може бути у два-п'ять разів за інтенсивності потоку швидких нейтронів, що складає  $5 \cdot 10^{12}\text{ н}\cdot\text{см}^{-2}\cdot\text{с}^{-1}$ . В оглядових частинах робіт [2; 3] наведено і багато інших прикладів збільшення швидкості усталеної високотемпературної повзучості за рахунок опромінення швидкими нейтронами.

**Постановка проблеми.** У зв'язку з викладеним, важливим для інженерної практики, зокрема для атомної енергетики, буде розв'язок задачі про визначення залишкового ресурсу труби з поверхневою тріщиною в її стінці, яка піддана дії довготривалого внутрішнього тиску, високої температури і радіаційного опромінення. Для цього побудуємо розрахункову модель, суть якої полягає в наступному.

**Виклад основного матеріалу.** Ставиться задача про визначення залишкового ресурсу труби внутрішнього радіуса  $r = 0,5d_1$  товщини  $h_1 = 0,5(d_2 - d_1)$ , яка піддана дії внутрішнього довготривалого статичного тиску  $p$ , температури  $T$  і радіоактивного опромінення в дозі  $\Phi$  (флюенс). Вважається, що на внутрішній стінці труби вздовж її твірної розміщена поверхнева півеліптична тріщина з півосями  $a_0$  і  $b_0$  з площею  $S_0$  (рис. 1).

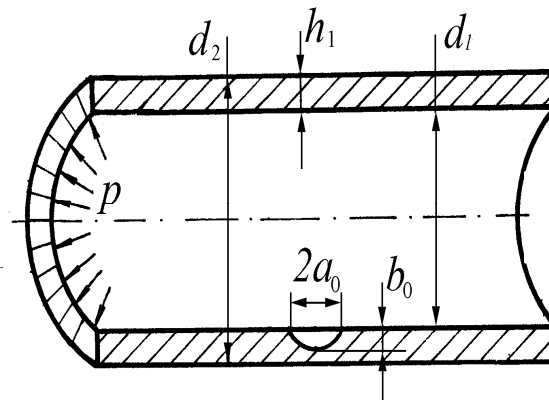


Рис. 1. Схема навантаження труби з півеліптичною тріщиною.

В умовах дії зовнішніх факторів, за яких реалізується явище високотемпературної повзучості, тріщина буде поширюватися і труба втратить герметичність. Задача полягає у визначенні часу  $t = t_*$ , коли площа тріщини  $S$  в результаті високотемпературної повзучості підросте до критичного розміру  $S = S_*$ , тобто  $b(t_*) = h_1$  і труба розгерметизується.

Для розв'язання такої задачі побудуємо математичну модель опису кінетики поширення тріщини високотемпературної повзучості у трубі і визначення періоду її докритичного росту  $t = t_*$ .

Суть цієї розрахункової моделі полягає в наступному. Застосуємо для цього випадку загальний енергетичний підхід, який сформульований у роботі

[4]. На основі цього для опису докритичного росту тріщини високотемпературної повзучості отримаємо диференціальне рівняння

$$\frac{dS}{dt} = A_m \left[ \frac{K_I}{K_{IC}} \right]^{2m} \left[ 1 - \frac{K_I^2}{K_{IC}^2} \right]^{-1}. \quad (1)$$

Для повноти математичної моделі до рівняння (1) додамо початкову і кінцеві умови

$$t = 0, \quad S(0) = S_0, \quad (2)$$

$$t = t_*, \quad S(t_*) = S_*, \quad (3)$$

де критична площа тріщини  $S = S_*$  визначається з критерію Ірвіна

$$K_I(S_*) = K_{IC}, \quad (4)$$

$A_m, m$  – характеристики високотемпературної повзучості [4; 5];  $K_I$  – коефіцієнт інтенсивності напружень біля контуру тріщини;  $K_{IC}$  – його критичне значення.

Таким чином, період докритичного росту тріщин високотемпературної повзучості в стінці труби визначається на основі співвідношень (1)–(4).

Щоб знайти залишковий ресурс труби (час до розгерметизації), застосуємо відомий [4] метод еквівалентних площ: зміна площі рухомої тріщини розглядуваної конфігурації наближено така, як для півкругової тріщини радіуса  $a$  рівної площі. Це значно спрощує розрахунки, але, як показано в [4], забезпечить для розрахунків достатню точність. Оскільки товщина стінки труби  $h_1$  набагато менша від її внутрішнього радіуса  $r$  ( $r \gg h$ ), то таку трубу з тріщиною під внутрішнім тиском  $p$  будемо моделювати пластиною товщини  $h_1$  з поверхневою тріщиною, яка розтягується рівнорозподіленими напруженнями  $\sigma_1 = rh_1^{-1}p$ . На основі цього та результатів роботи [4] рівняння (1) матиме вигляд

$$\frac{d\xi}{dt} = \frac{A_m}{h_1} \left[ \frac{K_I}{K_{IC}} \right]^{2m} \left[ 1 - \frac{K_I^2}{K_{IC}^2} \right]^{-1}, \quad (5)$$

$$\xi = a/h_1; \quad K_I = 0,7prh_1^{-1} \sqrt{\pi h_1 \xi} (1 + 0,32\xi^2) (1,04 + 0,23\xi^2 - 0,11\xi^4) \quad (6)$$

за початкової і кінцевої умов

$$t = 0, \quad \xi(0) = \xi_0; \quad (7)$$

$$t = t_*, \quad \xi(t_*) = 1. \quad (8)$$

Підставляючи (6) у (5) та інтегруючи за умов (7), (8), отримаємо розв'язок у такому вигляді:

$$t_* = \frac{h_1}{A_m} \int_{\xi_0}^1 \left[ \frac{K_I}{K_{IC}} \right]^{-2m} \left[ 1 - \frac{K_I^2}{K_{IC}^2} \right] d\xi. \quad (9)$$

Для апробації формули (9) розглянемо конкретний випадок, коли досліджувана труба, виготовлена із сталі ОХ16Н15МЗБ, експлуатується за температури 650 °С, нейтронного опромінення  $\Phi = 5,3 \cdot 10^{12}$  н·см<sup>-2</sup>·с<sup>-1</sup>, потужністю

$E \geq 0,85$  Мев, має геометричні параметри  $h_1 = 8$  мм,  $r = 20$  мм і навантажена тиском  $p$ , що задовольняє умову  $\sigma_1 = 200$  МПа (при  $\xi_0 = 0,1$ ). Для згаданої сталі в роботі [2] наведені результати експериментальних досліджень високотемпературної повзучості цієї сталі за таких самих параметрів нейтронного опромінення. При цьому отримані дані для високотемпературної повзучості (усталена ділянка повзучості) добре описуються формулою

$$\varepsilon = \dot{\varepsilon} t, \quad (10)$$

де  $\varepsilon$  – значення деформації;  $\dot{\varepsilon}$  – швидкість повзучості на усталеній ділянці;  $t$  – час. У свою чергу швидкість повзучості на усталеній ділянці  $\dot{\varepsilon}$  визначається через напруження  $\sigma$  таким чином:

$$\dot{\varepsilon} = A(\sigma\sigma_{0,2}^{-1})^n, \quad (11)$$

де  $\sigma_{0,2}$  – границя текучості сталі;  $A = 3,98 \cdot 10^{24}$  1/год;  $n = 17,8$ ;  $\sigma_{0,2} = 930$  МПа і  $A = 4,29 \cdot 10^9$  1/год;  $n = 7,2$ ;  $\sigma_{0,2} = 1100$  МПа відповідно, для зразків неопромінених і опромінених. На основі результатів робіт [5, 6] можна записати таку залежність:

$$\dot{\delta}_t = \delta_c \dot{\varepsilon} \varepsilon_c^{-1}. \quad (12)$$

Аналізуючи задачу Грифітса, в якій пластинка з тріщиною розтягується зусиллями  $\sigma$ , можемо записати наступне співвідношення:

$$\frac{K_I(\sigma, l)}{K_I(\sigma_*, l)} = \frac{\sigma \sqrt{\pi l}}{\sigma_* \sqrt{\pi l}} = \sigma \sigma_*^{-1}. \quad (13)$$

Для багатьох матеріалів приймається [6]  $\sigma_* \approx \sigma_{0,2}$ ,  $K_I(\sigma_*, l) = K_{IC}$ . Тоді на основі співвідношень (11)–(13) запишемо таку формулу:

$$\dot{\delta}_t = \delta_c \varepsilon_c^{-1} A \left[ \frac{K_I}{K_{IC}} \right]^n. \quad (14)$$

На основі результатів робіт [4, 5] і формули (14) співвідношення (9) можемо записати так:

$$t_* = \frac{h_1 \varepsilon_c}{\delta_c A} \int_{\xi_0}^1 \left[ \frac{K_I}{K_{IC}} \right]^{-n} \left[ 1 - \frac{K_I^2}{K_{IC}^2} \right] d\xi. \quad (15)$$

Величини  $\varepsilon_c, \delta_c, K_{IC}$ , які входять у формулу (15), визначаємо на основі результатів робіт [2; 7; 8] у такому вигляді:  $K_{IC} = 251$  МПа·м<sup>1/2</sup>;  $\varepsilon_c = 0,1$ ;  $\delta_c = 0,3$  і  $K_{IC} = 198$  МПа·м<sup>1/2</sup>;  $\varepsilon_c = 0,25$ ;  $\delta_c = 0,83$  мм відповідно для зразків неопромінених і опромінених. Підставляючи значення наведених характеристик у формулу (15), отримаємо:

для неопроміненої труби

$$t_* = 3,46 \cdot 10^{18} \int_{\xi_0}^1 K_I^{-15,8} (K_I^{-2} - 1,59 \cdot 10^{-5}) d\xi, \quad (16)$$

для опроміненої труби

$$t_* = 4,60 \cdot 10^8 \int_{\xi_0}^1 K_I^{-5,2} (K_I^{-2} - 2,55 \cdot 10^{-5}) d\xi, \quad (17)$$

де у формулі (17)  $K_I = 22,19 \sqrt{\xi} (1 + 0,32 \xi^2) (1,04 \mp 0,32 \xi^2 - 0,11 \xi^4)$ .

На основі обчислень за формулами (16) і (17) отримано графіки, наведені на рис. 2, де показано графічні залежності довговічності  $t_*$  труби з тріщиною від її початкового розміру  $\varepsilon_0$ . Як видно з рис. 2 радіаційне опромінення труби значно скорочує її довговічність.

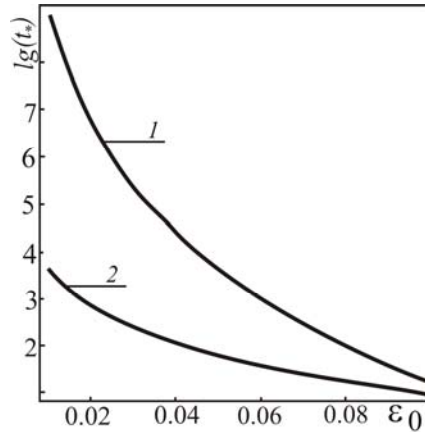


Рис. 2. Графічна залежність залишкового ресурсу труби  $t_*$  від  $\varepsilon_0$ :

1 – неопромінена труба; 2 – опромінена труба

Розглянемо вплив радіаційного опромінення на руйнування і деформування бетонних елементів конструкцій. Вище було показано, як знижує радіаційне опромінення довговічність металевих елементів конструкцій. Треба зазначити, що таке опромінення відчутно впливає і на бетонні матеріали, особливо ті, з яких виготовлені конструкції могильників і сховищ, що слугують для складування відпрацьованого палива і поховання інших радіоактивних відходів. Аналіз експериментальних даних, що проведений у роботі [1], показує, що в міру збільшення дози опромінювання змінюються модуль пружності матеріалу, діаграма деформації, характер кривих повзучості і тривалої міцності.

Для побудови могильників і сховищ для радіоактивних відходів у великій кількості використовуються плити, які слугують перекриттям і накриттям таких об'єктів. Тому важливим є розрахунок таких елементів конструкцій за радіоактивного опромінення. У роботі [1] отримано таке рівняння згину бетонної пластини з урахуванням радіаційного опромінення:

$$\frac{\partial^2}{\partial x^2} \left( D_1 \frac{\partial^2 W}{\partial x^2} \right) + \frac{\partial^2}{\partial x^2} \left( D_2 \frac{\partial^2 W}{\partial x^2} \right) + 2 \frac{\partial^2}{\partial x \partial y} \left( D_6 \frac{\partial^2}{\partial x \partial y} \right) + \frac{\partial^2}{\partial y^2} \left( D_2 \frac{\partial^2 W}{\partial x^2} \right) + \frac{\partial^2}{\partial y^2} \left( D_1 \frac{\partial^2 W}{\partial y^2} \right) = p(x, y) + q(x, y), \quad (18)$$

де  $W$  – прогин пластини;  $x, y$  – декартові координати в площині пластини;  $p(x, y)$  – інтенсивність зовнішнього навантаження;  $q(x, y)$  – фіктивне радіаційне навантаження, радіаційна добавка;  $D_1, D_2, D_6$  – змінні жорсткості. З допомогою

рівняння (18) і даних роботи [1] можна визначити зміну деформування і руйнування бетонної плити за радіоактивного опромінення.

**Висновки.** На основі аналізу впливу радіаційного опромінення на характеристики високотемпературної міцності конструкційних матеріалів, а також енергетичного підходу побудована розрахункова модель для визначення періоду докритичного росту тріщин високотемпературної повзучості в елементах конструкцій за довготривалого статичного навантаження і радіаційного опромінення. Конкретний розрахунок ресурсу елемента конструкції показав, що радіаційне опромінення може знизити його залишковий ресурс на декілька порядків.

### Література

1. Грибов Р. Б. Моделирование поведения армированных элементов конструкций с учетом влияния радиационного облучения / Р. Б. Грибов, А. В. Матора // Вестник Самарского государственного технического университета. – 2005. – № 38. – С. 35–41. – (Серия физ.-мат. науки).
2. Влияние реакторных излучений на сопротивление ползучести и длительную прочность аустенитной нержавеющей стали ОХ16Н15МЗБ / [Писаренко Г.С., Кисельовский В.Н., Полевой Д.В.] // Проблемы прочности.–1974.–№4. – С.3–8.
3. Ибрагимов Ш. Ш. Радиационные повреждения металлов и сплавов / Ш. Ш. Ибрагимов, В.В. Кирсанов, Ю.С. Пятилетов.–М.: Энергоатомиздат, 1985.–240с.
4. Андрейків О.Є. Механіка руйнування металічних пластин при високотемпературній повзучості / О.Є. Андрейків, Н. Б. Сас // Фіз.-хім. механіка матеріалів. – 2006. – № 2. – С. 62–68.
5. Андрейків О. Є. Математична модель для визначення періоду докритичного поширення тріщин високотемпературної повзучості в твердих тілах / О. Є. Андрейків, Н. Б. Сас // Доп. НАН України. – 2006. – № 5. – С. 47–52.
6. Андрейків О. Є. Визначення залишкової довговічності тонкостінних елементів конструкцій при двохосьовому навантаженні / О. Є. Андрейків, М. Б. Кіт // Фіз.-хім. механіка матеріалів. – 2006. – № 1. – С. 11–16.
7. Ковчик С.Е. Характеристики кратковременной трещиностойкости материалов и методы их определения. Механика разрушения и прочность материалов : справ.пособие / С.Е. Ковчик, Е.М. Морозов.–К.: Наук.думка, 1988. – Т.3. – 436с.
8. Оценка вязкости разрушения корпусных материалов реактора ВВЭР-1000 / [Гринник Э. У., Ревка В. Н., Чирко Л. И., Чайковский Ю. В.] // Ядерная физика та енергетика. – 2007. – Т. 19, № 1. – С. 83–88.

### Аннотация

Приводится решение задачи определения остаточного ресурса трубы с поверхностной трещиной в ее стенке, пребывающая в условиях воздействия долгодлительного внутреннего давления, высокой температуры и радиационного облучения.

**Ключевые слова:** конструктивные элементы, температура, напряженно-деформированное состояние, радиационное облучение, расчетные модели, трещины, энергетический поход